

Analizziamo due esempi notevoli (pendolo fisico e rotolamento) sfruttando l'equazioni della dinamica rotazionale per trovare le caratteristiche del moto. Rivediamo alcuni elementi del moto di un CR. La dinamica è descritta dalle equazioni:

$$\begin{aligned}\vec{F}^{(E)} &= m \frac{d\vec{v}_{CM}}{dt} \\ \vec{M}^{(E)} &= \frac{dL}{dt}\end{aligned}$$

6 eq. per 6 incognite
3 posizioni e 3 angoli!

Queste equazioni sono in generale indipendenti, ma in alcune condizioni (definite da vincoli) non lo sono.

Il moto in generale può essere scomposto in una traslazione (del CM) e una rotazione attorno ad un asse (asse istantaneo di rotazione).

1) Nelle traslazioni ^(pura) tutti i punti hanno lo stesso moto del CM (il CR è "collegabile" nel CM).

Rispetto ad un riferimento inerziale:

$$\begin{aligned}E_k &= \frac{1}{2} m v_{CM}^2 \\ \vec{L} &= \vec{r}_{CM} \times m \vec{v}_{CM}\end{aligned}$$

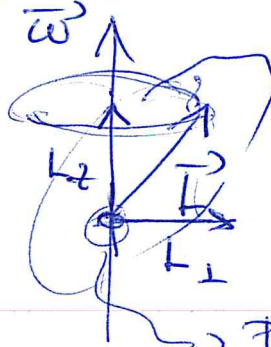
L'eq. dinamica che descrive il moto è $\vec{F} = m \vec{a}_{CM}$, mentre la seconda eq. non aggiunge informazioni indipendenti (è banalmente $\vec{r}_{CM} \times \vec{F}^{(E)} = \vec{r}_{CM} \times \frac{d(m \vec{v}_{CM})}{dt}$)

2) Nella rotazione pura attorno a un asse (istantaneo)⁽²⁾ di rotazione, conviene scrivere l'eq. del moto rotazionale nelle componenti assiale e trasversa:

$$M_z = \frac{dL_z}{dt}$$

$$M_{\perp} = \frac{dL_{\perp}}{dt}$$

z = asse di rotazione



2a) Se $\vec{L} \parallel \vec{\omega}$ (rotazione // ad un asse di simmetria del corpo)

$$L_{\perp} = 0 \Rightarrow M_{\perp} = 0$$

$$L_z = L_z = I_z \omega \Rightarrow M_z = I_z \alpha \quad \alpha = \frac{d\omega}{dt}$$

$\Rightarrow \vec{M}$ e $\vec{\alpha}$ sono // a \vec{L} e $\vec{\omega}$. L'equazione del moto è monodimensionale

2b) Se \vec{L} non è // a $\vec{\omega}$ (come in figura)

$$M_z = I_z \alpha$$

← definire l'accelerazione angolare

$$M_{\perp} = \frac{dL_{\perp}}{dt}$$

← definire le condizioni sui momenti angolari la rotazione avviene secondo l'asse specifico (rotazioni vincolate)

• Nel moto del punto materiale si ha una situazione analoga per $\vec{F} = m\vec{a}$:

La componente tangenziale definisce la variazione dell'accelerazione in modulo, la comp. ortogonale (centripeta) definisce la forza necessaria affinché il moto segua quella traiettoria.

• Esempio per 2b): $M_z = 0 \Rightarrow \alpha = 0 \quad \omega = \text{cost}$

L_z è costante in modulo, e così \vec{L} :

$\vec{M} = \frac{d\vec{L}}{dt} \Rightarrow \vec{M} = \vec{\omega} \times \vec{L}$ moto di precessione

\vec{M} ha solo componenti trasverse a $\vec{\omega}$

$M_\perp = \frac{dL_\perp}{dt} = L_\perp \frac{d\phi}{dt} = L_\perp \omega$

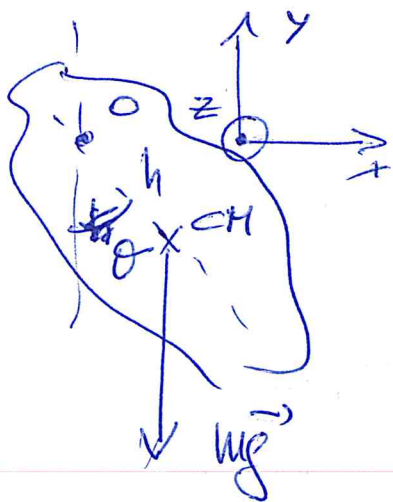
• Per un moto di rotazione $E_k = \frac{1}{2} I_z \omega^2$ con ω

- Polo conveniente sull'asse fisso, o nel CM. & $\vec{R}^{(\pm)} = 0$

\vec{L} e \vec{M} non dipendono dal polo

Il pendolo fisico (o composto)

(4)



CR oscillante attorno a un'asse orizzontale non passante per il CM (in figura O è la traccia dell'asse in una sezione ortogonale ~~ed essa~~ all'asse e passante per il CM)

Sia l'asse fisso nello spazio terrestre ("materiali") e la reazione

vincolare in O garantisce l'assenza di moto traslazionale di O. ☐ Il moto è

puramente rotazionale attorno a O.

Il CM accelera: $F_v - mg = ma$. Non siamo interessati a questo moto, ma al moto rotazionale attorno a

scegliamo O come polo:

$$\vec{\tau}_v = \vec{OO} \times \vec{F}_v = 0 \quad \text{braccio nullo}$$

$$\vec{\tau}_p = \vec{OCM} \times m\vec{g} = -mgh \sin\theta \hat{k}$$

Eq. del moto rotazionale:

$$M_z = I_z \alpha$$

$$I_z \frac{d^2\theta}{dt^2} + mgh \sin\theta = 0$$

(non è detto che I sia parallelo all'asse: dip. dalla forma del corpo. Se non lo è i momenti I_x e I_y dovranno fornire un vincolo all'asse)

Per oscillazioni $\theta \approx 0$ $\sin\theta \approx \theta$ e si ritrova l'equazione dell'oscillatore armonico semplice ($\theta \leq 10^\circ$, si veda discussione per il pendolo semplice)

Eq. del moto (per θ piccolo)

(5)

$$\frac{d^2\theta}{dt^2} + \frac{mgh}{I_z} \theta = 0$$

Soluzioni armoniche

$$\theta = \theta_0 \sin(\Omega t + \varphi)$$

con periodo di oscillazione:

$$T = \frac{2\pi}{\Omega} = 2\pi \sqrt{\frac{I_z}{mgh}} \equiv 2\pi \sqrt{\frac{l_r}{g}} \quad (*)$$

avendo posto $l_r = \frac{I_z}{mh}$ LUNG. RIDOTTA DEL PENDOLO COMPOSTO

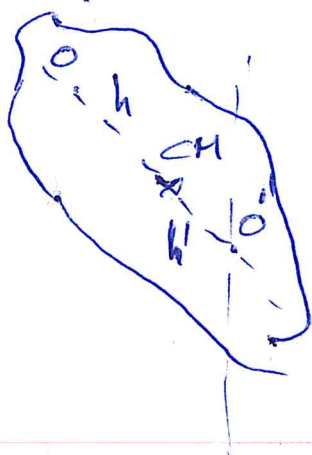
La lung. ridotta corrisponde alle lunghezza del pendolo semplice equivalente (con stesso periodo)

Per θ grandi il moto è ancora periodico, ma non è armonico semplice. L'eq. (*) richiede la stessa connessione dell'equazione per il pendolo semplice.

La misura di $\frac{I_z}{mh}$ per un pendolo fisico è molto più complicata della misura di l in un pendolo semplice. Esiste però una notevole proprietà di simmetria in un pendolo fisico che permette la misura accurata di l_r . Ciò è sfruttato per misurare g con precisione

→

si può far oscillare il pendolo attorno ad un asse passante per O' opposto a O



rispetto al CM e distante da CM h' . Scegliamo O' in modo che il periodo $T' = T$

con $T' = 2\pi \sqrt{\frac{I_{O'}}{mg}}$; $I_{O'} = \frac{I_{CM}}{mh'}$

Per il teorema di Huygens-Steiner:

$$I_z = I_{CM} + mh^2$$

$$I_{z'} = I_{CM} + mh'^2$$

Per le lunghezze ridotte si ha:

$$l_r = \frac{I_z}{mh} = \frac{I_{CM}}{mh} + h$$

$$l_r' = \frac{I_{z'}}{mh'} = \frac{I_{CM}}{mh'} + h'$$

La condizione $l = l_r'$ (ovvero $T = T'$) è soddisfatta

per $\frac{I_{CM}}{mh} = h'$ ovvero $\frac{I_{CM}}{mh} = h'$ che fornisce

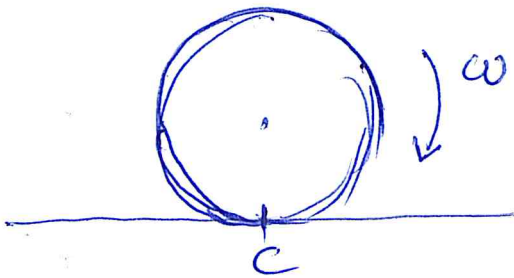
$$l_r = h + h' = l_r' \quad \text{[NOTA: in generale } h \neq h'. \text{ Uguaglianti solo se CR simmetrico rispetto a CA]}$$

Senza conoscere I_{CM} e m è sufficiente trovare i punti O e O' che determinano $T = T'$ e insieme la distanza (\Rightarrow PENDOLO REVERSIBILE DI KATER)

MOTO DI PURO ROTOLAMENTO

Caso interessante in cui l'asse di rotazione non è un asse materiale, con cuscinetti e supporti come negli esempi precedenti, ma un asse geometrico che si sposta parallelamente e e sta assieme al CR.

Cilindro (ROTA) rotola senza strisciare sotto l'azione di una forza esterna (esempio cuneo o lastra su piano inclinato) o di un momento.



- Rotazione attorno all'asse della ruota (CH pu CR e simmetria cilindrica)

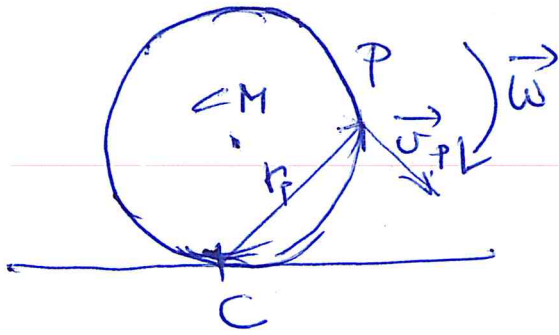
Nel puro rotolamento il pto di contatto C è fermo nell'istante t , per un intervallo infinitesimo dt .

In un istante successivo il punto di contatto cambia, ma è ancora un punto fisso rispetto al piano:
 $\vec{v}_C = 0$ e $\vec{v}_{C'} = 0$ nei rispettivi istanti di contatto con il piano di riferimento.

→ L'asse geometrico trasla, ma il punto (linea) di contatto definisce un asse istantaneo di rotazione fisso nel riferimento inerziale

Il moto di rotazione attorno a C ha velocità angolare $\vec{\omega}$ (indip. dall'asse per assi //).

La velocità di ogni punto della ruota, riferita a C è: $\vec{v}_p = \vec{\omega} \times \vec{r}_p$



Poiché $\vec{\omega}$ è orientato nel foglio (verso come z per rot. destrorsa) \vec{v}_p è ortogonale a \vec{r}_p e con verso a dx nel disegno

Per il CM: $\vec{v}_{CM} = \vec{\omega} \times \vec{r}_{CM}$ // al piano di rotolamento

$$\Rightarrow \boxed{v_{CM} = \omega r}$$

velocità di avanzamento del CM rispetto al 2° inf. inertele con $r =$ raggio della ruota

Poiché r è ~~par~~ costante (definito dalle geom. del CR)

vale anche $\boxed{a_{CM} = \alpha r}$ per l'accelerazione lineare e angolare

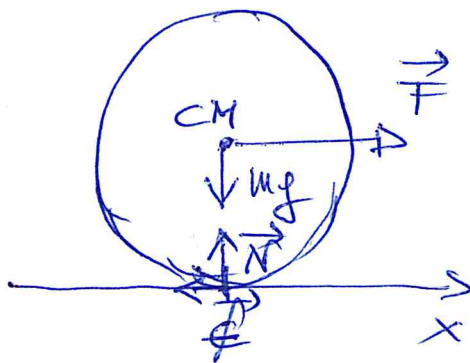
\Rightarrow Nel moto di puro rotolamento, il moto di rotazione attorno al CM e il moto di avanzamento del CM non sono indipendenti

NOTA: ~~Per caso~~ Il rotolamento avviene in virtù di una forza di attrito (statico!) applicata nel punto di contatto. In assenza di attrito il corpo rigido scivolerebbe sul piano con moto traslatorio ($v_p = v_{CM}$) per ogni punto.

Risolviamo il problema dinamico per due casi differenti: i) Forza esterna parallela al piano di rotolamento (ricavo tirato, oppure ruote su piano inclinato), ii) Momento torcente applicato (es: ruote azionate da motore)

i) Forza esterna

Diagrammi delle forze



Eq. del moto:

$$1) \vec{F} + \vec{R} + m\vec{g} = m\vec{a}_{CM}$$

$R \equiv$ reazioni vincolari: forza normale e forza di attrito

$$2) M_z = I_z \alpha$$

Scomposizione negli assi:

Asse x: $F - f = m a_{CM}$

Asse y: $N - mg = 0$

← non c'è accelerazione nel piano verticale

Per il momento assiale possiamo scegliere il polo in due modi convenienti: nel CM o in C. La dinamica non dipende dalla scelta del polo, mentre M e L ne dipendono.

Polo in CM: $r f = I \alpha \equiv I \frac{d_{CM}}{r}$ (z1)

Polo in C: $r F = I_c \alpha = I_c \frac{d_{CM}}{r}$ (z2)

(10)

Imp: L'attrito statico f è un'incognita del problema. La sua intensità non è definita a priori, ma dipende da F

$$\left\{ \begin{array}{l} \text{Attrito statico: } f \leq \mu_s N \quad f \text{ dipende da } F \\ \text{"dinamico"} \quad f = \mu_d N \end{array} \right. \quad \downarrow$$

Possiamo ricavare f combinando (21) e (22):

$$\frac{rf}{rF} = \frac{I\alpha}{I_c} \implies f = \frac{I}{I_c} F$$

$$\left\{ \begin{array}{l} f = \frac{I}{I_c} F \\ a_{cm} = \frac{F-f}{m} \end{array} \right. \implies \left\{ \begin{array}{l} a_{cm} = \frac{F}{m} \left(1 - \frac{I}{I_c}\right) \\ f = \frac{I}{I_c} F \end{array} \right. \implies \left\{ \begin{array}{l} a_{cm} = \frac{F}{m} \frac{mr^2}{I + mr^2} \\ f = \frac{I}{I + mr^2} F \end{array} \right.$$

Esiste una forza limite, al di sopra della quale il moto non è di puro rotolamento, ma la ruota "scivola" sul piano -

$$F_{lim} = \frac{I + mr^2}{I} f_{lim} \leq \left(1 + \frac{mr^2}{I}\right) \mu_s mg$$

Per un cilindro omogeneo $I = \frac{1}{2} m r^2$ e

(19)

$$F = 3f \leq 3\mu_s mg$$

In generale $I = m k^2$

con $k^2 =$ RAGGIO GIRATORE
(raggio per I_{equiv} , con massa
a distanza k dall'asse)

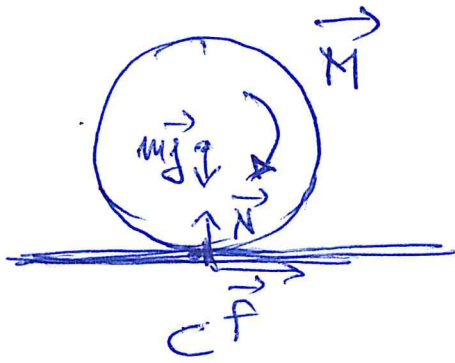
$$f = \frac{m k^2}{m k^2 + m r^2} F \rightarrow F = \left(1 + \frac{r^2}{k^2}\right) f$$

—
Verificare per esercizio che la soluzione del problema non dipende dalla scelta del polo, risolvendo esplicitamente il sistema usando per la rotazione l'eq. (Z1) o (Z2) - [si veda Mazzetti]

(Noi abbiamo ~~scritto~~ ^{scrittato} ~~la~~ non dipendente dal polo, per scrivere un sistema più rapido da risolvere)

ii) M torcente applicato all'asse delle ruote

(102)



In assenza di attrito la ruota scivolerebbe sul piano e non ci sarebbero forze esterne tali da determinare il moto di

eventamento della ruota -

La \vec{f} di attrito deve dunque essere rivolta nello stesso verso del moto. Questo esempio chiarisce che l'espressione comune "l'attrito è sempre opposto al verso del moto" non è precisa. Una formulazione più precisa è: "l'attrito è opposto al verso di scorrimento tra le superfici di contatto". (espressione valida anche nel caso precedente) -

Eq. del moto

Asse x

Asse y

Moto di rotazione

$$\left\{ \begin{array}{l} f = m a_{cm} \\ N - mg = 0 \\ M - rf = I \frac{a_{cm}}{r} \end{array} \right. \quad \text{Polo in CM}$$

oppure

$$M = I_c \frac{a_{cm}}{R} = (I + mr^2) \frac{a_{cm}}{r} \quad \text{Polo in C}$$

$$\left\{ \begin{array}{l} a_{cm} = \frac{Mr}{I + mr^2} \\ f = \frac{Mmr}{I + mr^2} \leq \mu_s mg \end{array} \right.$$

Caso generale, se \vec{F} da $\vec{M} \Rightarrow$ il (13)
velocità di \vec{f} non è determinata a priori, ma va
ricercata dalle soluzioni del problema.

La forza può essere acceleratrice o frenante, ---

Rimanendo ai casi esemplificativi presentati, analizziamo il problema in termini di energie.

En. cinetica

* Teorema di König: en. cinetica nel riferimento
inerziale è la somma dell'en. cinetica di traslazione
del CM e dell'energia del moto relativo al CM.

$$E_k = \frac{1}{2} m v_{CM}^2 + \frac{1}{2} I \omega^2$$

* Possiamo esprimere E_k in riferimento al pto C. In
quel caso il moto è di pura rotazione, poiché
C è fuso rispetto al sistema inerziale:

$$E_k = \frac{1}{2} I_C \omega^2 = \frac{1}{2} (I + m r_{CM}^2) \omega^2 \quad (\text{H. Steiner})$$

$$= \frac{1}{2} I \omega^2 + \frac{1}{2} m (r\omega)^2 \quad (\omega = \omega_{CM})$$

Qs. espressione coincide con quella del teorema
di König. L'en. cinetica è la medesima
per un asse parallelo all'asse di rotazione.

Si ricordi che, anche se E_k e ω dipendono dal
riferimento, il teorema dell'en. cinetica è sempre valido

Termini di lavoro e energie cinetiche:

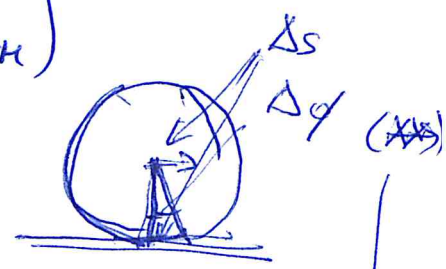
$$\begin{aligned} \Delta E_k &= \Delta \left(\frac{1}{2} m v_{cm}^2 \right) + \Delta \left(\frac{1}{2} I \omega^2 \right) = \\ &= m v_{cm} \Delta v_{cm} + I \omega \Delta \omega = \\ &= m a_{cm} v_{cm} \Delta t + I \alpha \omega \Delta t = \\ &= F_{tot} \Delta s_{cm} + M_{tot} \Delta \phi = \\ &= W_F + W_M \end{aligned}$$

lavoro delle
risultante di F_{ext}
(spost. del CM)

lavoro del
momento torcente
(rotazione angolare $\Delta \phi$)

Caso i) $F \parallel$ al piano di rotolamento

$$\begin{aligned} \Delta E_k &= (F - f) \Delta s_{cm} + r f \Delta \phi \\ &= F \Delta s_{cm} + f (r \Delta \phi - \Delta s_{cm}) \end{aligned}$$



* Puro rotolamento $r \Delta \phi = \Delta s_{cm}$

→ ΔE_k coincide con il lavoro di F , non
c'è dissipazione dovuta agli attriti (f non
lavora, C è punto fisso)

~~* Se $r \Delta \phi < \Delta s_{cm}$ → ΔE_k~~

(**) sappiamo che
 $v_{cm} = \omega r$ cioè
 $\frac{\Delta s_{cm}}{\Delta t} = \frac{\Delta \phi}{\Delta t} r$, poiché
 in equilibrio

***) Se $r\Delta\phi < \Delta S_{CH} \implies \Delta E_K < F\Delta S_{CH}$

c'è scivolamento e dissipazione di energia: non tutto il lavoro di F si traduce in energia cinetica

****) $r\Delta\phi > \Delta S_{CH}$ no c'è rotolamento

più ripido dello spostamento (ruote che slittano senza eventamento). Questo caso si può realizzare solo con immissione di lavoro non incluso nell'analisi precedente (altrimenti si dovrebbe $\Delta E_K >$ lavoro immesso), tramite ~~un~~ momento torcente applicato all'albero motore

ii) Momento torcente assiale:

$$\Delta E_K = f \Delta S_{CH} + (\tau - rf) \Delta\phi$$

$$= \tau \Delta\phi + f(\Delta S_{CH} - r\Delta\phi)$$

lavoro del momento torcente motore

*) Puro rotolamento $\Delta S_{CH} = r\Delta\phi \implies \Delta E_K = \tau \Delta\phi$

***) $r\Delta\phi > \Delta S_{CH} \implies \Delta E_K < \tau \Delta\phi$

energia dissipata, scivolamento delle ruote